



سال شانزدهم، شماره‌ی ۵۵  
پاییز ۱۳۹۵، صفحات ۲۱۵-۱۹۷

دانشگاه آزاد اسلامی واحد اهر  
فصلنامه‌ی علمی-پژوهشی فضای جغرافیایی

ابوالفضل بهنیافر<sup>۱</sup>

هادی قنبرزاده<sup>۲</sup>

جعفر رکنی<sup>۳</sup>

محسن رضائی عارفی<sup>۴</sup>

## کاربرد ژئومورفومتری در روابط کمی مخروط افکنه‌های پلیوکواترنر با استفاده از RS و کنترل صحراایی (مطالعه موردنی: پیشانی بینالود جنوبی)

تاریخ پذیرش: ۱۳۹۴/۰۲/۲۲

تاریخ دریافت: ۱۳۹۳/۱۰/۰۲

چکیده

استفاده از تصاویر ماهواره‌ای اسپات و لندست به صورت ترکیبی و همراه با تست میدانی اطلاعات بسیار مفیدی در زمینه شناسایی مخروط افکنه‌ها و ژئومتری آن‌ها ارائه می‌دهند. وجود مخروط افکنه‌های بسیار تیپیک متعلق به پلیوکواترنر در پیشانی کوهستان بینالود آزمایشگاه محیطی بسیار جالبی است که بتوان این روابط کمی را در آن‌ها بررسی و مورد تحلیل قرار داد. این پژوهش به روش تجربی و آزمایشگاهی مبتنی بر آنالیز برداشت‌های میدانی و تفسیر تصاویر ماهواره‌ای انجام شده است. به طوری که شناسایی مخروط‌ها از طریق تصاویر ماهواره‌ای اسپات و لندست همراه با کنترل تصاویر هوایی ۱/۴۰۰۰۰ بلوک بینالود انجام گردید و برای تدقیق محدوده مخروط افکنه‌ها، کنترل عملیات زمینی صورت گرفت تا نتایج محاسبات ژئومورفومتری آن‌ها خطای کمتری داشته باشد. هدف اصلی

۱- دانشیار ژئومورفولوژی، دانشگاه آزاد اسلامی واحد مشهد، مشهد، ایران.

۲- استادیار جغرافیای طبیعی، دانشگاه آزاد اسلامی واحد مشهد، مشهد، ایران.

۳- دانشجوی دکتری ژئومورفولوژی، دانشگاه فردوسی مشهد، مشهد، ایران.

۴- دانشجوی دکتری ژئومورفولوژی، دانشگاه حکیم سبزواری، سبزوار، ایران.

Email: rezaei.arefi61@yahoo.com

این پژوهش، شناسایی، ژئومورفومتری و روابط کمی مخروطافکنهای جبهه بینالود جنوبی از طریق تلفیق دور کاوی و برداشت‌های صحرایی می‌باشد. مقایسه تصاویر ماهواره‌ای اسپات و لندست در شناسایی ۲۰ مخروطافکنه بزرگ و کوچک پیشانی کوهستان بینالود جنوبی آشکار نمود که قدرت رزولیشن و دقت تصاویر اسپات در بررسی‌های ژئومتریک مخروطافکنهای بالاتر از تصاویر لندست می‌باشد ولی با این وجود تصاویر ماهواره‌ای لندست در شناسایی فرم‌های بزرگ‌مقیاس سطوح مخروطافکنهای از کاربرد زیادی برخوردار هستند.

**کلید واژه‌ها:** ژئومورفومتری، مخروطافکنهای پلیوکواترنر، تصاویر اسپات، بینالود جنوبی.

## مقدمه

ژئومورفومتری علمی است که در مورد سنجش کمی چشم‌اندازهای زمینی و تحلیل آنالیزهای کمی مورفولوژی سطوح زمین بحث می‌کند. به مفهوم جدید این علم از تکنیک‌های کارتوگرافی رقومی و آنالیزهای کمی برای نمایش کارتوگرافیکی فرم‌های زمین استفاده می‌کند (تاراملیا<sup>۵</sup>، ۲۰۰۹: ۱۸۹). ژئومورفومتری با استفاده از روش‌های ریاضیات کاربردی در مورد سنجش چشم‌اندازهای زمینی به تجزیه و تحلیل آن‌ها می‌پردازد. مخروطافکنهای که معمولاً در مناطق خشک دیده می‌شوند و از لحاظ اقتصادی و انباسته هیدرولکربورها و آب‌های زیرزمینی بسیار مهم هستند. (باهاتاریا و همکاران<sup>۶</sup>، ۲۰۰۸: ۲۲۳). به هر حال مخروطافکنهای جزو سیستم‌های رودخانه‌ای محسوب می‌شوند و بررسی تحلیل‌های کمی آن‌ها اطلاعات مورفولوژیکی و مورفوکتونیکی مفیدی را به همراه دارد (مقصودی و همکاران، ۱۳۹۱: ۱۲). برخی از این مخروط‌ها ممکن است میان کوهی باشند (زمردیان، ۱۳۹۰: ۵۶) و برخی تا داشت تداوم دارند. بهویشه با توجه به مشخصات ژئومورفیک مخروط‌ها برای مطالعه لرزه‌خیزی نواحی مختلف ایران بسیار بالرزش هستند (عباس نژاد، ۱۳۷۶: ۳۸). مخروطافکنهای دامنه جنوبی بینالود عمدهاً جزو گروه مخروط‌افکنهای فعال بوده و اگر چه شناخت آن‌ها نسبت به مخروط‌های غیرفعال کمتر است ولی از نظر ناپایداری دینامیکی حساسیت بیشتری دارند (بهنیافر، ۱۳۸۴: ۱۴۲). مخروط‌های فعال شامل آن گروه از مخروط‌افکنهایی است که به‌طور مستقل یا منطبق بر بخشی از عوارض قدیمی تحت تأثیر فرآیندهای رودخانه‌های کنونی تحول نسبتاً سریع‌تری را طی می‌نمایند. (حسین زاده، ۱۳۸۲: ۱۹۴). مطالعات اولیه پیرامون مخروط‌افکنهای توسط گیلبرت<sup>۷</sup>

5- Taramellia

6- Bhattacharai et al

7- Gillbert

(۱۸۷۵) و سپس مک‌کی<sup>۸</sup> (۱۸۹۶) در مورد مخروطهای مناطق خشک و بیابانی غرب آمریکا صورت گرفت. ولی اولین بار این واژه در ادبیات ژئومورفولوژی توسط ماکس دریو<sup>۹</sup> (۱۸۷۳) به کار گرفته شد که ناشی از مورفولوژی این پدیده بود. مطالعات دیگری با عنوان مخروط افکنهای و کنترل های تکتونیکی آنها توسط هاروی<sup>۱۰</sup> (۲۰۰۲) از گروه زمین‌شناسی دانشگاه بریستول انگلیس انجام شده است که در این مطالعه، مخروط افکنهای و توالی رسوبرگذاری در آنها را نزدیک‌ترین ترکیب طیف‌های رسوبی دانسته‌اند که تکتونیک و فرآیندهای درونی زمین در آنها تأثیرگذار بوده‌اند. هولینگ ورث<sup>۱۱</sup> (۲۰۰۲) در تحقیقی دیگر با استفاده از تغییرات شبیب، ارتباط بین سطوح جوان و پیر مخروط افکنهای و سن آنها را تعیین کرده‌اند. جدیدترین مطالعات در خصوص مخروط افکنهای توسط هاروی و همکاران در سال (۲۰۰۸) انجام پذیرفته است. آنها تغییرات شبیب رسوبی قاعده مخروط افکنهای را با استفاده از سیستم اطلاعات جغرافیایی بررسی کرده و ارتباط بین ژئومورفولوژی مخروط‌ها و نوع رسوبات آنها با نوع فرآیندهای حاکم را آشکار کرده‌اند. کلر، در سال (۲۰۰۹) تکنیک جدیدی در شناسایی اشکال رسوبی به‌ویژه مخروط افکنهای به کار گرفت و با استفاده از تصویربرداری حرارتی به بررسی مخروط افکنهای در کالیفرنیا پرداخت و به این نتیجه رسید که این روش در آشکارسازی فرآیندهای رسوبی در سطح مخروط افکنهای از دقت بسیار بالایی برخوردار می‌باشد. بررسی نوزمین ساختی مخروط افکنهای ناحیه کرمان توسط عباس‌نژاد (۱۳۷۶)، زمین‌ساخت پویای باختر کوهستان شتری در شرق طبس توسط نواب‌پور (۱۳۸۲) مورد پژوهش و تحقیق قرار گرفته که شواهد پویایی آن را در بادبزن‌های آبرفتی منطقه صادق دانسته است. تحولات سطوح مخروط افکنهای گرینه نیشابور توسط بهنیافر (۱۳۸۴)، ژئومورفولوژی و مخاطرات سطوح مخروط افکنهای بورزان نیشابور (قنبزاده و همکاران، ۱۳۸۷: ۴۵) از جمله کارهای موردي هستند که بر روی برخی از مخروطهای بینالود جنوبی انجام گرفته‌اند. یمانی و همکاران در سال (۸۲) در مقاله خود با عنوان نقش تکتونیک و تغییرات اقلیمی در تحول مخروط افکنهای در چاله سیرجان با استفاده از مدل la NUVEL، شاخص سینوسی و شاخص نسبت پهنه‌ای کف دره به ارتفاع دره به منظور بررسی حرکات تکتونیکی پرداختند و به این نتیجه رسیدند که در تحول مخروط افکنهای تقطیع شده حوضه، حرکات تکتونیکی نقش موثرتری را ایفا نمودند. مقصودی در سال (۸۷) در پژوهشی با عنوان بررسی عوامل موثر در تحول ژئومورفولوژی مخروط افکنهای جاجروم با استفاده از پردازش تصاویر رقومی، عملیات میدانی و مشاهده ترانشه های طبیعی و مصنوعی موجود بر سطح مخروط افکنه پرداخت و به این نتیجه رسید که تحول مخروط افکنه

8- McKee

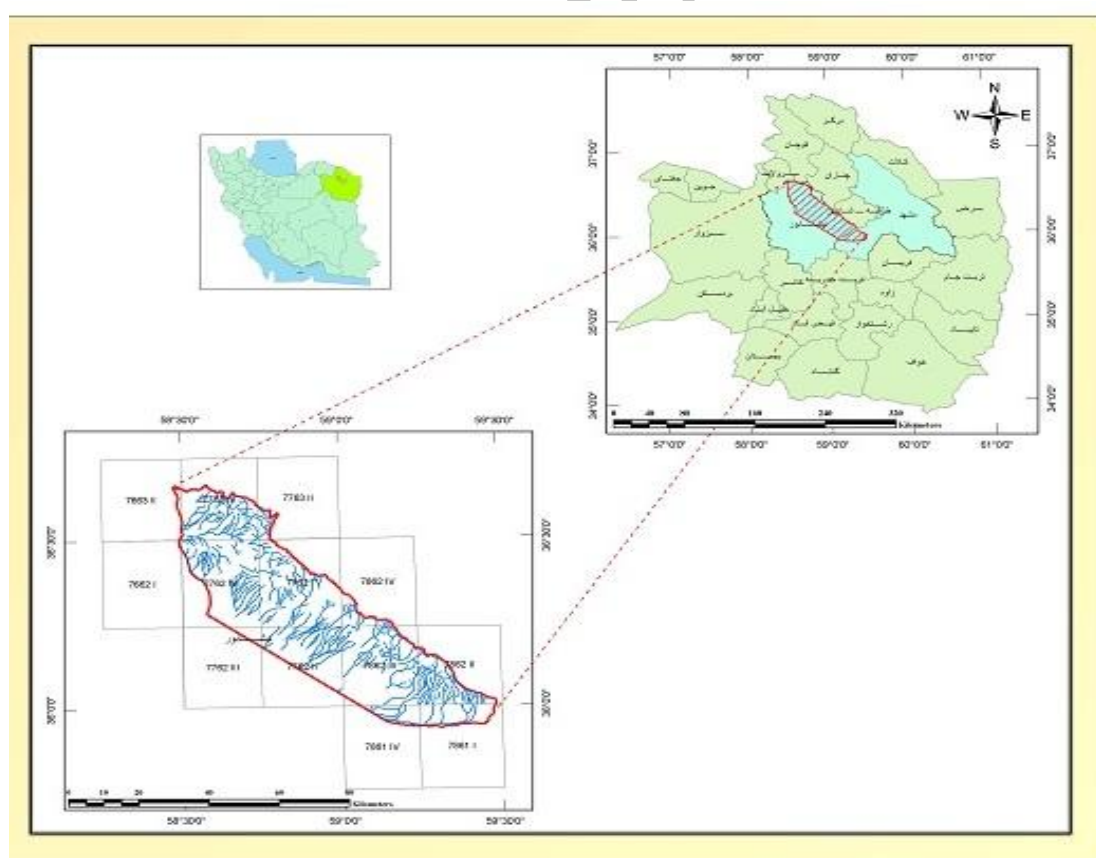
9- Drew

10- Harvey

11- Holling worth

جاجرود حاصل عملکرد عوامل طبیعی شامل تغییرات اقلیمی، تکتونیکی در درازمدت و عوامل انسانی در کوتاهمدت بوده است. زمردیان در سال (۹۱) در مقاله خود با عنوان تجزیه و تحلیل مورفوژنز و تفاوت‌های کمی و کیفی مخروطه‌افکنهای رشته‌کوه بینالود با رویکرد هیدرودینامیکی با استفاده از مدل‌های ژئومورفوژئیکی و عملیات گرانولومتری و مورفوسکپی به این نتیجه دست یافت که عوامل تکتونیکی و هیدرودینامیکی بیشترین نقش را در بروز تفاوت‌های ژئومورفوژئیکی مخروطه‌افکنهای شمالی و جنوبی بینالود داشته است.

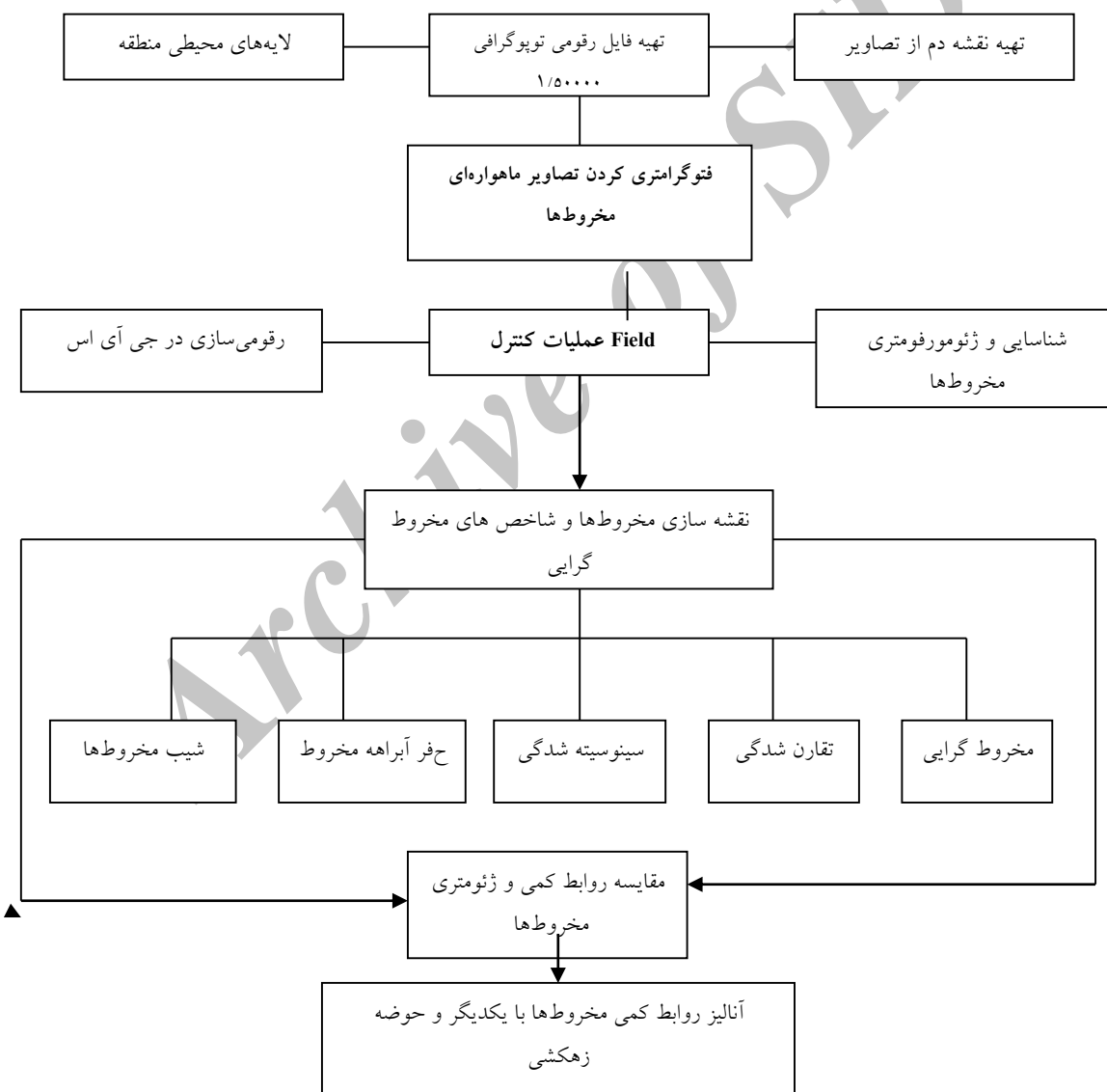
منطقه مورد مطالعه شامل بخش پیشانی ارتفاعات جنوبی بینالود (حد فاصل پیوه ژن تا حوضه بار نیشابور) است که وسعت آن با توجه به مساحتی نقشه‌های  $1/50000$  توپوگرافی  $2750$  کیلومتر مربع است. مخروطه‌افکنهای این دامنه‌ها، همگی جوان بوده و متعلق به پلیکواترنر می‌باشند. از نظر موقعیت و تقسیمات کشوری بخش شرقی این منطقه جزو شهرستان مشهد و بخش غربی آن در نیشابور واقع شده است. از نظر موقع ریاضی، بین عرض جغرافیایی  $35^{\circ} 56'$  تا  $36^{\circ} 40'$  شمالی و طول جغرافیایی  $58^{\circ} 29'$  تا  $59^{\circ} 09'$  شرقی واقع است (شکل ۱). بلندترین نقطه ارتفاعی منطقه، در خط الراس بینالود با  $3307$  متر و پست‌ترین نقطه آن در جنوب‌غرب منطقه  $1135$  متر ارتفاع دارد.



شکل ۱: نقشه محدوده زون بینالود و موقعیت آن در خراسان رضوی

## مواد و روش‌ها

این پژوهش به روش تجربی و آزمایشگاهی مبتنی بر آنالیز برداشت‌های میدانی و تفسیر تصاویر ماهواره‌ای انجام شده است. به طوری که شناسایی مخروط‌ها از طریق تصاویر ماهواره‌ای اسپات و لندست همراه با کنترل تصاویر هوایی ۱/۴۰۰۰۰ بلوک بینالود انجام گردید و برای تدقیق محدوده مخروط‌ها، کنترل عملیات زمینی صورت گرفت تا نتایج محاسبات ژئومورفومتری آن‌ها خطای کم‌تری داشته باشد. فرآیند تحقیق به صورت زیر بوده است:



شکل ۲: فرآیند تحقیق در بررسی ژئومورفومتری و روابط کمی مخروط افکنه‌های بینالود جنوبی

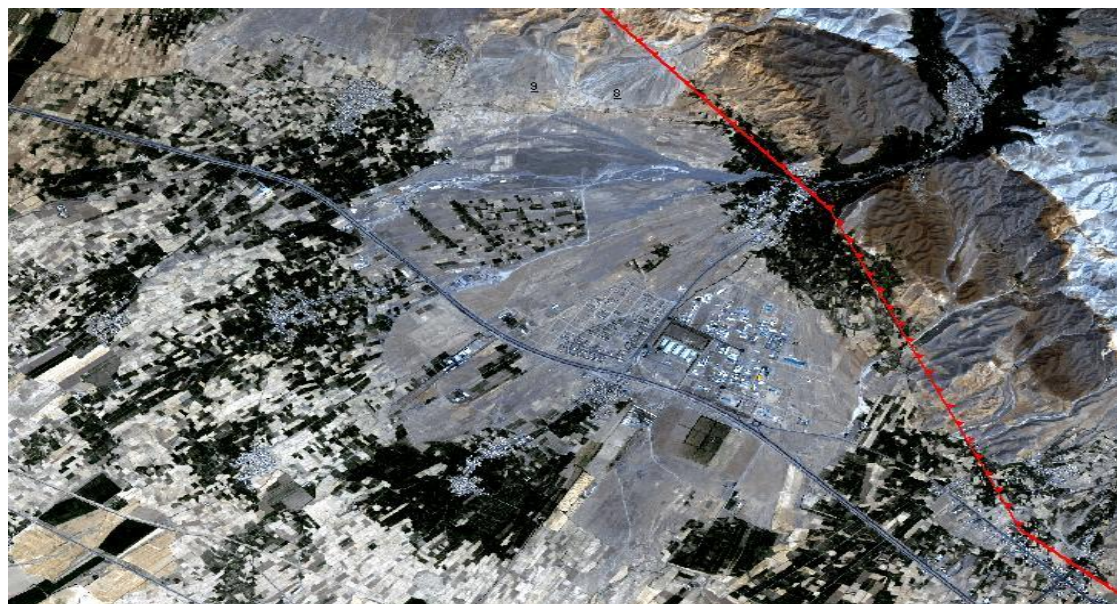
الف- تهیه مدل دم دامنه‌های جنوبی بینالود با تصاویر ماهواره‌ای لندست و اسپات. ب- شناسایی مخروطها و نقشه سازی آنها بر اساس تصاویر ماهواره‌ای، تصاویر هوایی و کترل آنها از نقشه‌های توپوگرافی ۱/۲۵۰۰۰ در محیط جی‌آی‌اس و عملیات زمینی. ج- محاسبات ژئومورفومتری و روابط کمی از طریق نرم‌افزار ژئوماتیکا و نقشه‌های مدل دم بر روی تصاویر اسپات در تلفیق با عملیات صحرایی به منظور تدقیق ژئومتری مخروطها (ضریب مخروط گرایی، شب و مساحت مخروطها، پروفیل آبراهه اصلی مخروط، رابطه سطح مخروطها با مساحت حوضه زهکشی آنها، محیط مخروطها). مهم‌ترین ابزارهای این تحقیق عبارتند از:

- لایه‌های محیطی (نقشه‌ها) در محیط نرم‌افزاری آرک جی‌آی‌اس، با مقیاس پایه‌ای ۱/۵۰۰۰۰
- تصاویر ماهواره‌ای لندست و اسپات منطقه با نرم‌افزارهای ران کردن محیط دم و جی‌آی‌اس
- فایل رقومی نقشه‌های زمین‌شناسی به مقیاس ۱:۱۰۰۰۰۰ منطقه
- برداشت‌های میدانی از ژئومتری مخروط‌افکنه‌ها و حوضه زهکشی آنها
- نتایج آنالیز آزمایشگاه فتوگرامتریک تصاویر ماهواره‌ای و هوایی

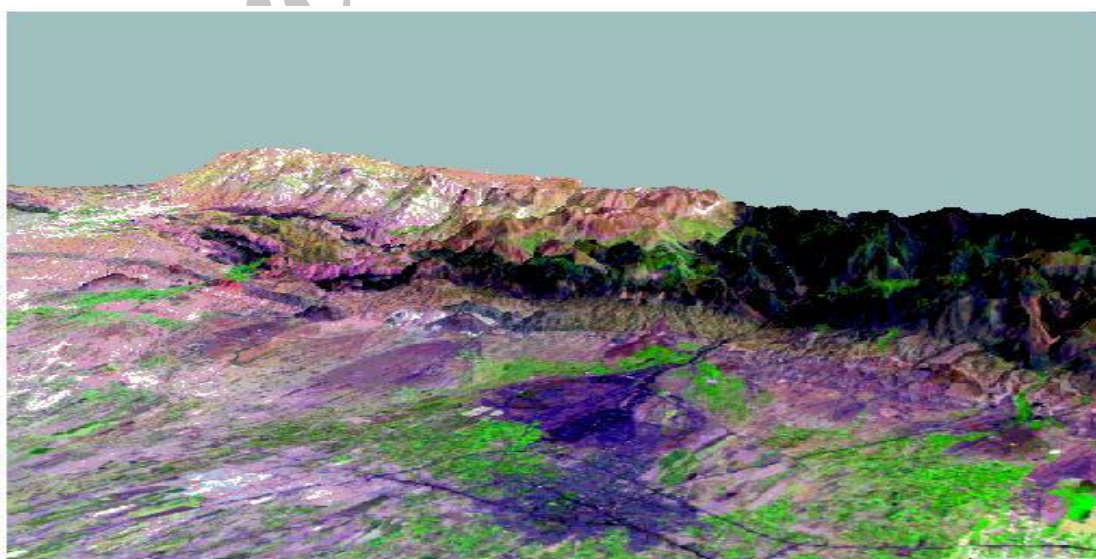
## یافته‌ها و بحث

نقشه‌سازی و طبقه‌بندی مخروط‌افکنه‌های پیشانی بینالود تشخیص مخروط‌افکنه‌های بینالود جنوبی از طریق تصاویر ماهواره‌ای ETM+ و اسپات همراه با بررسی فایل رقومی نقشه‌های ۱/۲۵۰۰۰ توپوگرافی و کترل میدانی صورت گرفته است از آنجا که قدرت تفکیک تصاویر ماهواره‌ای اسپات نسبت به تصاویر لندست بیشتر و از دقت بالاتری برخوردار بوده است بیشتر پارامترهای ژئومتری مخروط‌ها به وسیله همین تصاویر اندازه‌گیری و با عملیات میدانی کترل شده‌اند. برای مثال در شکل (۳) تصویر اسپات مخروط افکنه خروین همراه با موقعیت گسل اصلی بینالود و خط کنیک بسیار گویا بوده و به سهولت می‌توان پارامترهای ژئومتریک مخروط را سنجش و محاسبه نمود. نتایج مطالعات انجام گرفته نشان داد که جنوبی تعداد ۲۰ مخروط‌افکنه در پیشانی کوهستان بینالود وجود دارد و سن همگی آنها مربوط به پلیوکواترنر می‌باشد مشخصات این مخروط‌ها در (جدول ۱) آورده شده است. با استفاده از مدل DEM (شکل ۴) و نقشه‌های ۱/۲۵۰۰۰ توپوگرافی مبنی در محیط GIS، محدوده مخروط‌ها تعیین و نقشه آنها ترسیم گردید. بر اساس (شکل ۶)، پنج مخروط‌افکنه بزرگ منطقه از نظر وسعت عبارتند از:

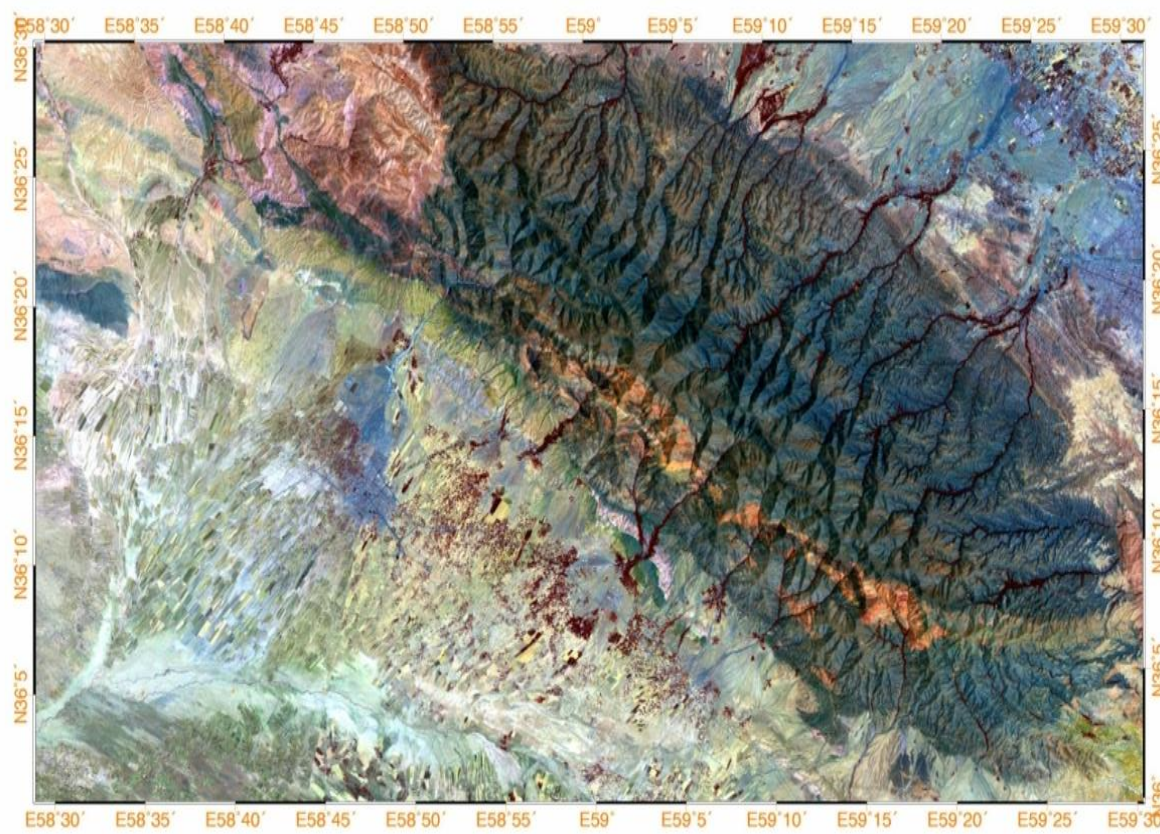
الف- مخروط افکنه نیشابور با وسعت ۴۶۳۴ هکتار. ب- مخروط افکنه خروین با وسعت ۳۷۱۱ هکتار که آبراهه آن بریدگی عمیقی دارد. ج- مخروط افکنه بینالود با وسعت ۳۶۸۳ هکتار، د- مخروط افکنه گلشن‌آباد با وسعت ۳۳۱۱ هکتار. ه- مخروط افکنه باشتن گچ با وسعت ۲۳۲۹ هکتار، کلیه مخروط‌های بینالود جنوبی از نوع مخروط افکنه‌ای کوهرفتی بوده و در پای پرتگاه اصلی کوهستان بینالود جنوبی تشکیل شده‌اند.



شکل ۳: تصویر ماهواره اسپات از مخروط افکنه خروین (۳۷۱۱ هکتار) با تکیک‌پذیری بالا که مسیر نسبتاً مستقیم خط کنیک با شاخص سینوسیته بسیار کم در آن مشخص است. دید به شمال‌شرقی

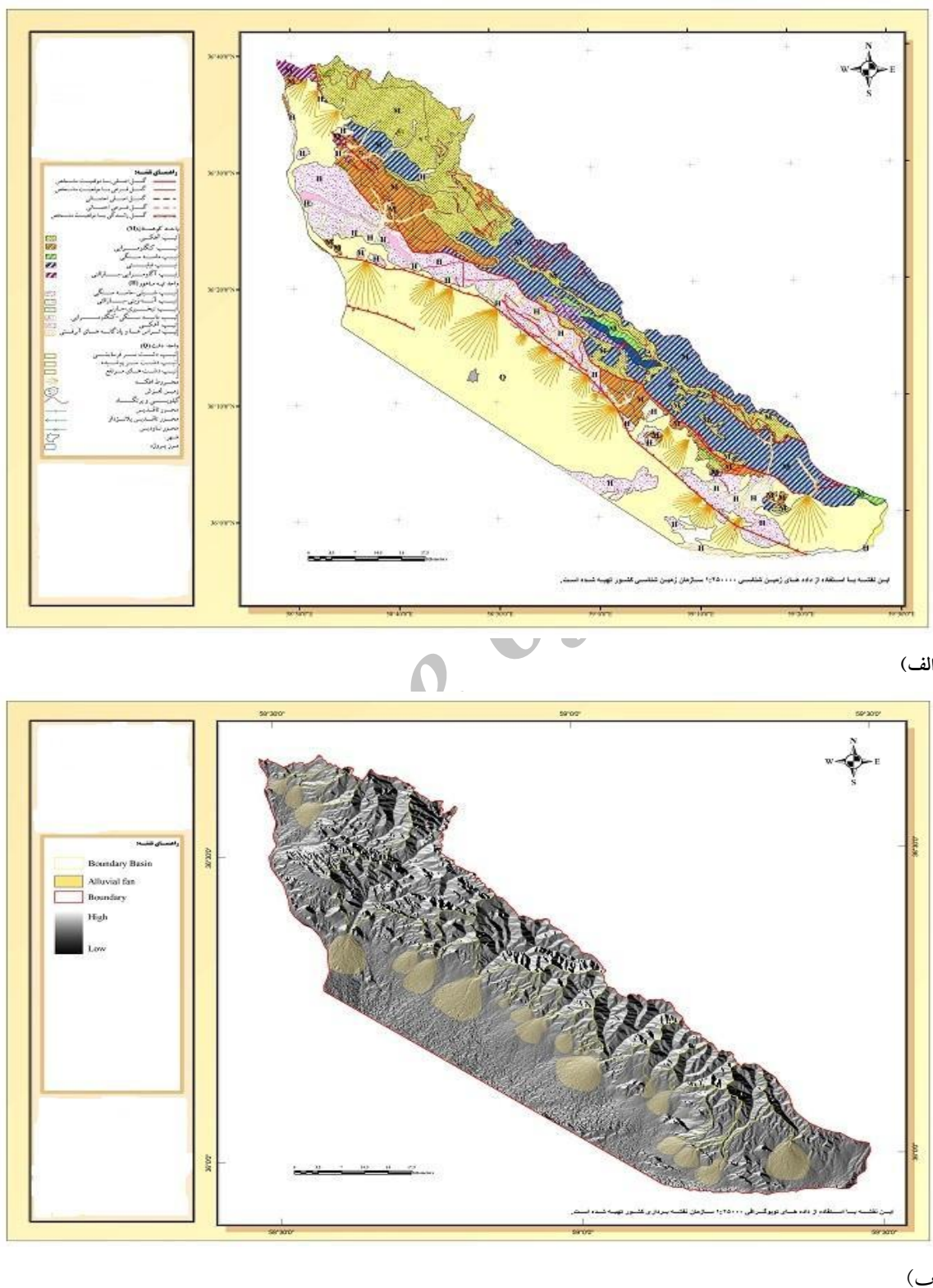


شکل ۴: تصویر سه‌بعدی از مدل DEM تصاویر ETM+ برای مخروط افکنه‌های دامنه‌های بینالود جنوبی



شکل ۵: تصویر ماهواره لندست از زون بینالود که مخروطافکنه ها و آبراهه اصلی آنها به رنگ قرمز تیره در جبهه جنوبی مشخص هستند، دید به سمت شمال شرقی

- ژئومتری و روابط کمی مخروط افکنه های منطقه نتایج داده های ژئومتریک به دست آمده از سنجش مخروط افکنه های دامنه های جنوبی بینالود در (جدول ۱) آورده شده است. از این داده ها می توان ارتباط کمی بین هریک از شاخص های مخروط افکنه ای را تعیین و تحلیل نمود. در بین ۲۰ مخروط افکنه دامنه های بینالود جنوبی، بزرگ ترین مخروط افکنه، مخروط نیشابور با ۴۶۳۴ هکتار می باشد که زبانه آن تا شهر نیشابور امتداد دارد و کوچک ترین مخروط افکنه از نظر وسعت، مخروط بوژمهران ۱ با ۸۴ هکتار است. مهم ترین روابط کمی مخروط های منطقه شامل رابطه مساحت و وسعت حوضه زهکش آنها، ارتباط محیط مخروط ها با مساحت، رابطه شبیه مخروط با پروفیل طولی و وسعت آنها و ارتباط طول آبراهه اصلی مخروط با مساحت آنها می باشد که پس از سنجش و تطبیق سازی با کنترل عملیات زمینی خطاهای جزئی آنها برطرف گردیده و تدقیق شده اند.



شکل ۶ (الف و ب): پراکندگی فضایی ۲۰ مخروط افکنه پلیوکواترین جبهه بینالود جنوبی و تنوع لیتوژیک حوضه زهکش آنها (الف)، جانمایی مخروط افکنه‌ها در مدل سه بعدی جبهه بینالود (ب)

جدول ۱- ویژگی‌های ژئومتریک ۲۰ مخروط افکنه پیشانی کوهستان بینالود جنوبی، (نگارندگان بر اساس سنجش تصاویر ماهواره‌ای اسپات نقشه‌های ۱/۲۵۰۰۰ و کترل میدانی) ۱۳۹۲

ردیف	مخروط افکنه	بلندترین ارتفاع حوضه (متر)	محدوده حوضه (متر)	ارتفاع در خروجی حوضه (متر)	مخروط افکنه			حوضه آبریز مخروط	حوضه آبریز مخروط	طول آبراهه حوضه Km
					Km <sup>2</sup>	مساحت Km	محیط Km			
۱	بینالود	۲۶۴۰	۱۰۹۱	۲۲/۰۰	۳۶/۸۳	۷/۲/۴	۳۲/۹۵	۳۱/۲۲	۱۳/۷۷	۱۳/۷۷
۲	دیزیاد پائین	۲۷۵۳	۱۳۹۶	۱۵/۸	۱۵/۰۷	۷/۲/۵۰	۴۷/۹۴	۵۴/۳۲	۱۹/۷۵	۱۹/۷۵
۳	حشمتیه ۱	۱۵۴۷	۱۴۱۲	۱۲/۲	۱۱/۳	۷/۳/۴۸	۱۱/۱۶	۳/۵۴	۴/۶۹	۱۲/۵۵
۴	حشمتیه ۲	۲۵۷۱	۱۳۵۶	۱۲/۰۶	۱۰/۰۳	۷/۲/۵	۳۴/۲۴	۴۰/۱۳	۱۲/۱۴	۱۲/۱۴
۵	گرینه	۲۹۳۰	۱۴۷۲	۱۳/۴۷	۱۱/۷۹	۷/۲/۹۷	۳۴/۶۰	۶۰	۱۲/۹۳	۱۲/۹۳
۶	درود	۳۰۶۱	۱۴۸۶	۹/۳۹	۵/۳۶	۷/۳/۲۹	۳۵/۴۸	۴۸/۵۱	۱۰/۹/۸۷	۱۶/۸۵
۷	خرم	۳۳۰۸	۱۴۱۶	۲۲/۲۳	۳۷/۱۱	۷/۲/۷۷	۴۹	۲/۸۱	۲/۶۷	۲/۶۷
۸	بوژمهران ۱	۱۸۲۱	۱۴۴۶	۳/۷۲	۰/۸۴	۷/۵/۲۲	۷/۲/۲۳	۲/۸۱	۱۰/۹/۸۷	۱۰/۹/۸۷
۹	بوژمهران ۲	۲۱۷۴	۱۳۹۷	۳/۸۳	۰/۹۹	۷/۰/۵	۱۰/۱۲	۳/۷۵	۴/۶۲	۱۲/۸۸
۱۰	سونقد	۲۹۵۰	۱۴۴۲	۱۰/۸	۸/۲۳	۷/۵/۷۴	۱۳/۵۸	۹/۹۲	۷/۳۹	۱۲/۸۸
۱۱	بوژان	۳۳۰۸	۱۴۶۴	۱۵/۰۳	۱۶/۱۴	۷/۳/۵۳	۲۱/۱۶	۴۲/۹۸	۲/۸۱	۲/۶۷
۱۲	باگرود	۳۰۷۵	۱۴۴۶	۹/۶۱	۶/۸۴	۷/۴/۲۶	۲۴/۴۲	۲۰/۳۵	۱۰/۱۷	۱۰/۱۷
۱۳	پسرآباد	۲۷۵۰	۱۲۸۶	۵/۹۳	۲/۴۴	۷/۰/۶	۱۴/۸۱	۷/۷۳	۷/۱	۷/۱
۱۴	نیشابور	۳۲۶۰	۱۳۸۹	۲۶/۱	۴۶/۳۴	۷/۲/۶۵	۶۵/۶۱	۱۶۱	۲۲/۲۶	۱۱/۷۲
۱۵	باخشون گچ	۲۷۸۳	۱۴۰۱	۱۸/۷۷	۲۲/۲۹	۷/۲/۰۴	۲۹/۵۶	۳۳/۵۴	۱۱/۷۲	۱۱/۷۲
۱۶	گچ دره	۲۱۱۴	۱۳۹۲	۱۲/۹۷	۱۱/۸۸	۷/۳/۶۰	۱۶/۸	۱۰/۷۴	۷/۱۹	۷/۱۹
۱۷	گلشن اباد	۳۰۱۵	۱۲۹۷	۲۱/۰۵	۳۳/۱۱	۷/۱/۳۸	۱۰/۵/۷۸	۲۸۹/۸۵	۲۹/۸۶	۹/۲۸
۱۸	دهنه حیدری	۲۹۱۰	۱۶۷۶	۱۴	۱۲/۷۲	۷/۳/۰۳	۱۸/۵	۱۵/۳۵	۸/۸	۲۲/۰۵
۱۹	قاسمیه	۲۹۰۰	۱۶۶۷	۱۱/۴	۹	۷/۲/۸۶	۱۸/۷۶	۱۳/۱	۷/۷۷	۸/۸
۲۰	برگ شاهی	۲۷۹۵	۱۶۷۳	۱۰/۴۶	۶/۱	۷/۲/۸۶	۱۸/۷۶	۱۸/۵	۱۵/۳۵	۹/۲۸

روابط کمی مخروط افکنه‌های منطقه در سه مورد زیر بررسی و تحلیل شده است:

اول، ارتباط مساحت مخروط افکنه‌ها با حوضه زهکشی آنها

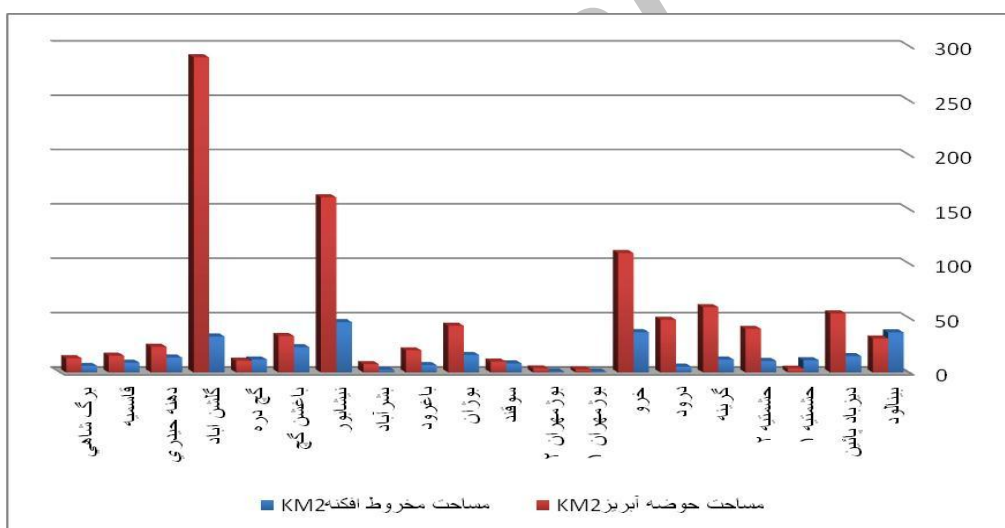
دوم، ارتباط شیب با پروفیل طولی و وسعت مخروط افکنه‌ها

سوم، رابطه شیب با نیمرخ طولی مخروط افکنه‌ها

معمولًا هر اندازه حوضه آبریز یا زهکش یک مخروط افکنه بیشتر باشد باستی مساحت مخروط افکنه هم بزرگ‌تر

شود ولی این مسئله یک قاعده کلی است و به لیتوژوژی و درجه هوازدگی در حوضه نیز وابسته می‌باشد (شکل ۹).

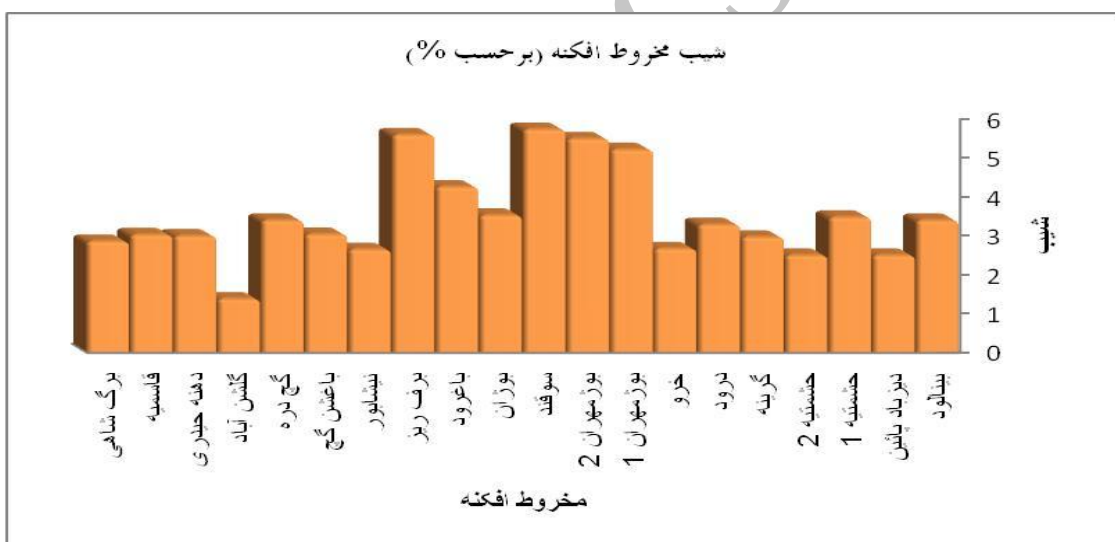
در مجموع این رابطه در اغلب موارد مسقیم است (مقصودی و همکاران ۱۳۹۰) به طوری که هر اندازه حوضه زهکشی مخروط بزرگ‌تر باشد مساحت مخروط افکنه نیز بیشتر خواهد بود. (شکل ۷) برای نمونه مساحت حوضه زهکش مخروط افکنه نیشابور ۱۶۱ کیلومترمربع و مساحت مخروط افکنه آن ۴۶۳۴ کیلومترمربع است که یکی از بزرگ‌ترین مخروط‌های منطقه از نظر وسعت است. در حالی که مساحت حوضه زهکشی مخروط افکنه ۶۰ کیلومترمربع و مساحت مخروط آن ۱۱/۷۹ کیلومترمربع می‌باشد بنابراین مخروط‌هایی بزرگ دارای حوضه زهکش کننده وسیع‌تری نیز هستند. برای به‌دست آوردن شیب هر یک از مخروط‌افکنهای منطقه از نقشه‌های توپوگرافی رقومی استفاده گردید که ۲۳ شیت نقشه مورد بررسی واقع شدند. در این روش راس و قاعده مخروط محاسبه گردید و سپس از روی منحنی‌های میزان اختلاف ارتفاع رأس و قاعده مخروط افکنه برداشت گردید و از تقسیم اختلاف ارتفاع فاصله شیب هر مخروط افکنه به‌دست آمد. به‌طور معمول شیب سطح مخروط‌افکنه‌ها به‌طرف پائین و قاعده مخروط کاهش پیدا می‌کند و در پروفیل طولی آن‌ها حالت مقعری به وجود می‌آید.



شکل ۷: ارتباط بین مساحت مخروط افکنه‌ها با حوضه زهکشی آن‌ها در بینالود جنوبی ۱۳۹۲

از دیگر پارامترهای کمی هر مخروط افکنه شیب آن است. شیب سطحی مخروط‌های منطقه بین ۵/۸ تا ۲/۵ درصد متفاوت می‌باشد. معمولاً مخروط‌افکنهای جوان به‌ویژه در محل پرتوگاه‌های کوهستانی مسیر خط کنیک از شیب بیش‌تری برخوردار می‌باشند. اگرچه برخی از محققان معتقدند که بین شیب و مساحت مخروط‌افکنه‌ها رابطه معکوسی وجود دارد (بال، ۱۹۷۶؛ ۲۰۳) بدین معنا که شیب مخروط‌های کوچک بیش‌تر است ولی این ارتباط در مورد همه مخروط‌افکنهای بینالود جنوبی کاملاً صادق نیست، زیرا اغلب آن‌ها از فعالیت‌های تکتونیکی تاثیرپذیری

دارند و شیب بیشتری نسبت به مخروط‌افکنهای دامنه‌های شمالی بینالود دارند. حتی شیب مخروط‌ها در سرتاسر بینالود جنوبی کمی متفاوت هستند؛ بنابراین مساحت مخروط‌افکنه خروین با  $37/11$  کیلومترمربع شیبی برابر  $2/67$  درصد دارد، در حالی که شیب مخروط‌افکنه درود با مساحت  $5/36$  کیلومترمربع برابر  $3/29$  درصد، یعنی بیشتر از شیب مخروط خروین می‌باشد و در نتیجه از رابطه بال تبعیت نمی‌کند. ولی در سایر مناطق که اثر تکتونیک کاسته شده، ارتباط مساحت با شیب مخروط‌ها معکوس بوده است. به طوری که مخروط‌های بزرگ مانند بینالود و نیشابور نسبت به مخروط‌های کوچک مانند بوژان و حشمته از شیب کمتری برخوردار هستند (جدول ۳). نمودار شیب کلیه مخروط‌افکنهای بینالود جنوبی از طریق تصاویر ماهواره‌ای و نقشه‌های رقومی  $1/25000$  منطقه تهیه و مورد مقایسه قرار گرفته‌اند نتایج نشان داد که مخروط‌افکنهای سوقند، بشرآباد، بوژمهران ۲ و بوژمهران ۱ به ترتیب با شیب‌های  $5/5$ ،  $5/6$  و  $5/22$  درصد بیشترین شیب‌ها را در بین  $20$  مخروط‌افکنه بینالود جنوبی داشته‌اند (شکل ۸).



شکل ۸: متوسط شیب مخروط افکنهای منطقه مطالعات یا تصاویر اسپات و تست میدانی

پس از محاسبات شیب سطحی مخروط‌های منطقه، از طریق اختلاف ارتفاع راس و قاعده مخروط‌ها و فاصله زمینی آن‌ها طبقه‌بندی شیب آن‌ها بر اساس نظر بلیسن باخ (۱۹۹۶: ۱۴) به سه گروه تفکیک گردیده و نتایج آن در (جدول ۳) آورده شده است. شیب‌های بالاتر از  $4$  درجه ( $8/8$  درصد) فقط در بخش‌های بالادست مخروط‌افکنهایها و یا در محل شکستگی راس آن‌ها مشاهده می‌شود که این موضوع نظریه جریانات پر رسو بناهمنگن، در مورد مخروط افکنهای مناطق نیمه‌خشک این دامنه‌ها را تایید می‌نماید. مطالعات بیاتی خطیبی (۱۳۸۳: ۴۶) در ارتفاعات قوشه داغ

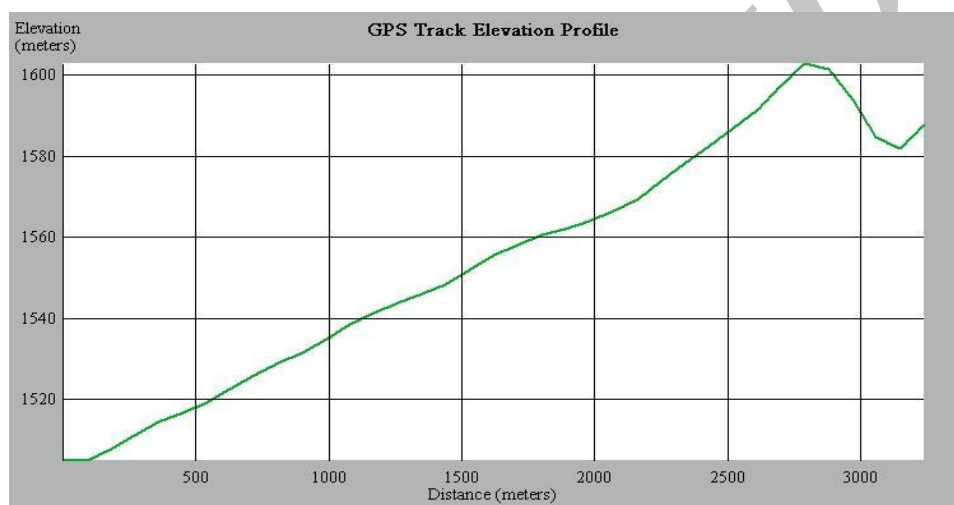
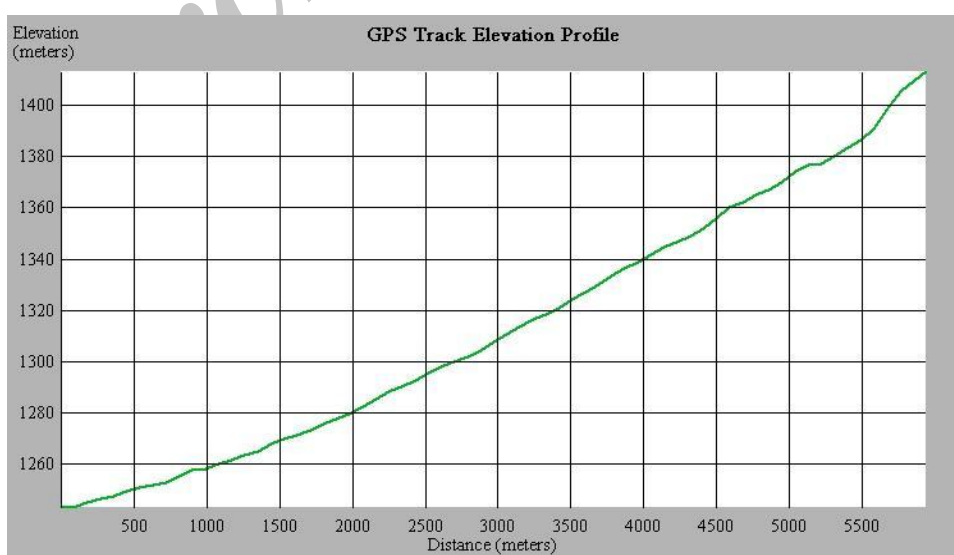
بین اهر و مشکین شهر نیز مovid همین جریان‌های پر رسوب ناهمگن بوده که موجبات زمین لغزه‌ها را فراهم آورده است.

جدول ۲- اندازه‌گیری و محاسبات شبیه در مخروط افکن‌های گستره مورد پژوهش (مأخذ: نگارندگان از طریق مدل دم اسپات و کنترل میدانی)

ردیف	نام مخروط افکنه	D/km	H/m	شبیه
۱	بینالود	۷/۶۳	۲۶۰	%۳/۴
۲	دیزباد پائین	۵/۷۸	۱۴۵	%۲/۵۰
۳	حشمتیه ۱	۳/۸۸	۱۳۵	%۳/۴۸
۴	حشمتیه ۲	۴/۵۵	۱۱۵	%۲/۵
۵	گرینه	۴/۸۷	۱۴۵	%۲/۹۷
۶	درود	۳/۴۹	۱۱۵	%۳/۲۹
۷	خرو	۷/۱۲	۱۹۰	%۲/۶۷
۸	بوژمهران ۱	۱/۳۴	۷۰	%۰/۲۲
۹	بوژمهران ۲	۱/۰۹	۶۰	%۰/۵
۱۰	سوقد	۳/۸۳	۲۲۰	%۰/۷۴
۱۱	بوزان	۵/۳۸	۱۹۰	%۳/۵۳
۱۲	باخرود	۳/۴۰	۱۴۵	%۴/۲۶
۱۳	برف ریز	۲/۰۵	۱۱۵	%۰/۶
۱۴	نیشابور	۶/۹۸	۱۸۵	۲/۶۵
۱۵	باغشن گچ	۷/۲۳	۲۲۰	%۳/۰۴
۱۶	گچ دره	۴/۸۵	۱۶۵	%۳/۴۰
۱۷	گلاشن آباد	۷/۰۸	۱۰۵	%۱/۳۸
۱۸	دهنه حیدری	۵	۱۵۰	%۰/۳
۱۹	قاسمیه	۴/۲۹	۱۳۰	%۳/۰۳
۲۰	برگ شاهی	۳/۸۴	۱۱۰	%۲/۸۶

جدول ۳- تعداد مخروطافکنه‌های منطقه به تفکیک گروه‌های شیب بلیسن باخ

ردیف	توصیف درجه شیب مخروط افکنه	شیب از درصد	شیب به درجه	تعداد مخروط افکنه‌ها
۱	مخروطافکنه‌های کم شیب یا ملایم	کمتر از $4/3$ درصد	(کمتر از ۲ درجه)	-
۲	مخروطافکنه‌های با شیب متوسط	$4/3$ تا $8/7$ درصد	(۲ تا ۴ درجه)	۵
۳	مخروطافکنه‌های پرشیب	بیش از $8/7$ درصد	(بیش از ۴ درجه)	۱۵

شکل ۹: پروفیل طولی بخش میانی مخروطافکنه بزرگ بینالود با وسعت ۳۶/۸۳ کیلومترمربع و شیب  $1/53$  درجه،  $3/4$  درصدشکل ۱۰: پروفیل طولی مخروطافکنه حشمته ۲ با وسعت ۱۰/۵۳ کیلومترمربع و شیب  $1/12$  درجه،  $2/5$  درصد

با استفاده از ترسیم و تجزیه و تحلیل نیمرخ‌های طولی مخروط‌افکنهای می‌توان به وضعیت شیب و تولید رسوبات - مواد کوه‌رفتی و مورفولوژی مخروط‌افکنهای برد و خصوصیات آن‌ها را مورد بررسی قرار داد. بدین منظور نیمرخ‌های طولی چندین مخروط‌افکنهای مهم بینالود جنوبی تهیه گردید و نتایج آشکار نمود که محاسبات شیب در سطح مخروط‌افکنهای دقیق بوده و جریان‌های پر رسوب ناگهانی نقش مهمی در تغییرات شیب مخروط‌افکنهای منطقه دارند. هر اندازه طول آبراهه اصلی مخروط‌افکنهای آن‌ها و یا پروفیل طولی آن‌ها بیشتر بوده است، شیب مخروط‌افکنهای کمتر می‌شود و در واقع بین شیب مخروط‌ها و مساحت آن‌ها و شعاع مخروط نسبت معکوسی برقرار است. دبی‌های بحرانی در مخروط‌افکنهای بوژان و درود می‌توانند مواد کوه‌رفتی زیادی را بر روی سطح مخروط‌افکنهای تخلیه نمایند (منصوری دانشور و همکاران، ۱۳۸۸: ۵۸) و موج فرسایش خنده‌ای در سطح این مخروط‌ها گردیده‌اند (حسین زاده و بیرانوند، ۱۳۹۲: ۷۳-۱۰۷۳)، آن دسته از مخروط‌افکنهایی که شیب بیشتری داشته‌اند (مانند بشر آباد، سوقند، بوژمهران، باخرود، بوژان، درود و خروین) دارای جریان‌های با مواد آبرفتی ناهمگن و زیاد هستند و مسیر آبراهه اصلی مخروط افکنهای آن‌ها اغلب سیل خیز می‌باشد و تخته‌سنگ‌ها و قلوه‌سنگ‌های درشت‌دانه دارند.

### نتیجه‌گیری

مقایسه تصاویر ماهواره‌ای اسپات و لندست در شناسایی ۲۰ مخروط‌افکنهای بزرگ و کوچک پیشانی کوهستان بینالود جنوبی آشکار نمود که قدرت تفکیک و دقیق تصاویر اسپات در بررسی‌های ژئومتریک مخروط‌افکنهای بالاتر از تصاویر لندست می‌باشد ولی با این وجود تصاویر ماهواره‌ای لندست در شناسایی فرم‌های بزرگ مقیاس سطوح مخروط‌افکنهای از کاربرد زیادی برخوردار هستند. تمام مخروط‌افکنهای بینالود جنوبی جوان بوده و متعلق به پلیوکواترنر می‌باشند ژئومتری مخروط‌ها آشکار نمود که بزرگ‌ترین مخروط‌افکنه منطقه، مخروط نیشابور با وسعت ۴۶۳۴ هکتار و کوچک‌ترین آن‌ها، مخروط بوژمهران اول با وسعت ۸۴ هکتار می‌باشد. بیشترین شیب در بین ۵/۷۴ درصد، بیشترین محیط مخروط‌ها متعلق به مخروط نیشابور با مخروط‌افکنه منطقه، مربوط به مخروط سوقند با ۲۹/۸۶ کیلومتر با ۲۶/۱ کیلومتر و طول بزرگ‌ترین آبراهه مخروط‌ها مربوط به مخروط‌افکنه گلشن‌آباد (جدول ۱).

از نظر بررسی‌های روابط کمی مخروط‌ها هرچقدر حوضه آبریز یا زهکش مخروط‌افکنه‌ها بیش‌تر باشد مساحت آن‌ها هم بزرگ‌تر شده ولی این مسئله به لیتوژوژی و درجه هوازدگی، بهویژه کاربری زمین در حوضه زهکشی مخروط‌ها نیز وابسته می‌باشد (ارومیه‌ای و همکاران ۱۳۷۷). حوضه زهکش مخروط‌افکنه نیشابور ۱۶۱ کیلومترمربع و مساحت مخروط‌افکنه آن  $46/34$  کیلومترمربع است در حالی که مساحت حوضه زهکشی مخروط‌افکنه گرینه برابر  $60$  کیلومترمربع و مساحت مخروط آن  $11/79$  کیلومترمربع می‌باشد؛ بنابراین مخروط‌افکنه‌های بزرگ پیشانی بینالود دارای حوضه زهکش کننده وسیع‌تری نیز هستند و از این نظر تولید و مواد هوازده در این حوضه‌ها بیش‌تر است. شب سطحی مخروط‌های منطقه بین  $2/5$  تا  $5/8$  درصد متفاوت می‌باشد. معمولاً مخروط‌افکنه‌های جوان بهویژه در محل پرتگاه‌های کوهستانی مسیر خط کنیک از شب بیش‌تری برخوردار می‌باشند. برخی از متخصصان مانند (بال، ۱۹۷۶؛ ۷۸) معتقد‌اند بین شب و مساحت مخروط‌ها رابطه معکوس وجود دارد بدین معنا که شب مخروط‌های کوچک بیش‌تر است ولی این ارتباط در مورد همه مخروط‌افکنه‌های بینالود جنوبی کاملاً صادق نیست، زیرا غالب آن‌ها تحت تاثیر فعالیت‌های تکتونیکی قرار دارند. مثلاً مساحت مخروط‌افکنه خروین با  $37/11$  کیلومترمربع شبیه  $2/67$  درصد دارد، در حالی که شب مخروط‌افکنه درود با مساحت  $5/36$  کیلومترمربع برابر  $3/29$  درصد، یعنی بیش‌تر از شب مخروط خروین می‌باشد و در نتیجه از رابطه بال تبعیت نمی‌کند. ولی در سایر مناطق که اثر تکتونیک کاسته شده، ارتباط مساحت با شب مخروط‌ها معکوس است. ترسیم نیمرخ‌های طولی مخروط‌های منطقه با کمک مدل دم اسپات مشخص نمود که جریان‌های پرسوب ناگهانی نقش مهمی در تغییرات شب مخروط‌افکنه‌های دامنه جنوبی بینالود دارند. هر اندازه طول آبراهه اصلی مخروط‌افکنه‌ها و یا پروفیل طولی آن‌ها بیش‌تر بوده است، شب مخروط‌افکنه‌ها کم‌تر می‌شود و در واقع بین شب مخروط‌ها و مساحت آن‌ها و شعاع مخروط در منطقه، نسبت معکوسی برقرار است. اندازه‌گیری و ژئومتری شعاع و شب مخروط‌های بینالود جنوبی با سنجش از دور و محاسبات همبستگی  $20$  مخروط نشان داد که هر اندازه طول قوس شعاع مخروط‌افکنه‌ها بیش‌تر شده است بر عکس شب آن‌ها کاهش یافته است. برای مثال طول شعاع مخروط بزرگ نیشابور  $8/46$  کیلومتر و شب آن  $2/65$  درصد بوده در حالی که طول شعاع مخروط  $3/40$  کیلومتر و شب آن  $4/26$  درصد یعنی بیش‌تر از مخروط نیشابور می‌باشد. این رابطه در مورد هر  $20$  مخروط منطقه صادق می‌باشد.

### قدردانی

مقاله حاضر برگرفته از طرح پژوهشی تحت عنوان (ژئومتری و روابط کمی مخروط‌افکنه‌ها و نئوتکتونیک بینالود جنوبی با سنجش از دور و تست میدانی) بوده است که با حمایت مالی معاونت پژوهش و فناوری دانشگاه آزاد اسلامی مشهد انجام گرفته است و صمیمانه از همکاری این معاونت و همکارانشان تشکر می‌نماییم.

## منابع

- استانداری خراسان رضوی (۱۳۸۹)، «گروه نقشه و GIS»، فایل نقشه‌های محیطی بلوک بینالود.
- ارومیه‌ای، ع؛ صفائی، م (۱۳۷۷)، «کاربری زمین و تأثیر آن در ناپایداری دامنه‌ها در حوضه نکارود»، خلاصه مقالات هفدهمین گردهمایی علوم زمین، سازمان زمین‌شناسی و اکتشافات معدنی کشور، صص ۹۷-۹۱.
- بهنیافر، ا؛ ولایتی، س (۱۳۸۶)؛ «شناسایی و پهنه‌بندی زمین‌لغزش‌های حوضه آبریز زشک در بینالود شمالی»، طرح پژوهشی، معاونت پژوهش و فناوری دانشگاه آزاد اسلامی مشهد.
- بهنیافر، ا (۱۳۸۴)، «کاربری زمین و ناپایداری سطوح مخروط افکنهای در دامنه‌های جنوبی بینالود در نمونه، مخروط افکنه گرینه نیشابور»، مجله جغرافیا و توسعه ناحیه‌ای، شماره ۳، صص ۱۵۷-۱۳۹.
- بیاتی خطیبی، م (۱۳۸۳)، «بررسی ویژگی‌های سازندهای سطحی در وقوع لغزش‌ها، مطالعه مورد: دامنه‌های شمالی قوشه داغ بین اهر و مشکین شهر»، فصلنامه تحقیقات جغرافیایی، شماره ۷۲، صص ۱۱۷-۱۰۵.
- حسین‌زاده، م (۱۳۹۲) «شبیه‌سازی سیلاب رودخانه کشکان»، فصلنامه سنجش از دور و جی.آی.اس ایران، شماره ۱۷، صص ۷۱-۸۳.
- حسین‌زاده، س. ر (۱۳۸۲)، «پایداری و ناپایداری سطوح مخروط افکنهای در بیابان‌های داخلی ایران، نمونه موردنی؛ بیابان طبس»، مجله جغرافیا و توسعه ناحیه‌ای، شماره ۱، صص ۲۰۸-۱۸۱.
- خیام، م؛ مختاری کشکی، د (۱۳۸۲)، «ارزیابی عملکرد فعالیت‌های تکتونیکی بر اساس مورفو‌لوزی مخروط افکنهای (مخروط افکنهای دامنه شمالی میشوداغ)»، مجله پژوهش‌های جغرافیایی، شماره ۴۴، صص ۱۰-۱-۱۰.
- رجایی اصل، ع (۱۳۸۲)؛ «کاربرد جغرافیای طبیعی در برنامه‌ریزی شهری و روستایی»، تهران، انتشارات سمت.
- زمردیان، م. ج (۱۳۹۰)، ژئومورفولوژی ایران، جلد دوم، مشهد، انتشارات دانشگاه فردوسی.
- زمردیان، م. ج؛ برومند، ر (۱۳۹۱)، «تجزیه و تحلیل مورفوژنز و تفاوت‌های کمی و کیفی مخروط‌های افکنهای رشته‌کوه بینالود یا رویکرد هیدرومورفوتکتونیکی»، مجله پژوهش‌های ژئومورفولوژی کمی، شماره ۲، صص ۷۲-۵۳.
- عباس‌نژاد، الف (۱۳۷۵)، «پژوهش‌های ژئومورفولوژی در دشت رفسنجان»، پایان‌نامه دکتری، دانشکده جغرافیا، دانشگاه تبریز.

- عباس‌نژاد، الف (۱۳۷۶)، «بررسی نوزمین ساختی مخروط‌افکنه‌ی ناحیه کرمان»، *فصلنامه علوم زمین*، شماره ۲۵ و ۲۶، صص ۴۷-۳۸.
- قنبرزاده، ه؛ بهنیافر، ا (۱۳۸۸)؛ «پهنه‌بندی خطر وقوع زمین‌لغزش‌ها در ارتفاعات حوضه آبریز کال شور (شهرستان نیشابور)»، *فصلنامه پژوهشی فضای جغرافیایی*، شماره ۲۸، صص ۱۲۳-۱۰۳.
- کرمی، ف؛ بیاتی خطیبی، م (۱۳۸۵)، «شناسایی و پهنه‌بندی نواحی مستعد زمین‌لغزش در حوضه آبریز اوجان چای (با استفاده از روش‌های آماری و سامانه‌های اطلاعات جغرافیایی)»، دومین کنفرانس مدیریت جامع بحران، تهران، شرکت کیفیت ترویج.
- مقصودی، م (۱۳۸۷)، «بررسی عوامل مؤثر در تحول ژئومورفو‌لوژی مخروط‌افکنه‌ها، مطالعه موردی مخروط‌افکنه جاگرود»، *مجله پژوهش‌های جغرافیای طبیعی*، شماره ۶۵، صص ۹۲-۷۳.
- محمودی، ف (۱۳۸۶)، «ژئومورفو‌لوژی دینامیک»، تهران، انتشارات دانشگاه پیام نور.
- مقصودی، م؛ محمد‌نژاد، و (۱۳۹۰)، «ژئومورفو‌لوژی مخروط افکنه‌ها»، تهران، انتشارات دانشگاه تهران، ص ۶۵.
- مقصودی، م؛ باقری‌شکری، س؛ مینایی، م (۱۳۸۸)، «بررسی نقش تکتونیک در شکل‌گیری و تحول مخروط‌افکنه‌های دامنه طاقدیس قلاچه»، *جغرافیا و عمران ناحیه‌ای*، شماره ۱۲، صص ۱۲۴-۹۹.
- منصوری دانشور، م؛ بهنیافر، ا؛ نیزاده، ه (۱۳۸۸)، «امکان‌سنجی مخاطرات ژئومورفیک و نقش آن در برنامه‌ریزی محیطی دامنه‌های شمالی بینالود»، پایان‌نامه کارشناسی ارشد، دانشکده علوم انسانی، دانشگاه آزاد اسلامی مشهد.
- نواب‌پور، پ؛ سعیدی، ع؛ قاسمی، م. ر (۱۳۸۲)، «زمین‌ساخت پویای باخته کوهستان شتری»، *فصلنامه علوم زمین*، شماره ۴۹ و ۵۰، صص ۱۳-۲.
- یمانی، م؛ مقصودی، م (۱۳۸۲)، «بررسی تحول کانال‌های گیسویی در سطح مخروط‌افکنه‌های تنگوئیه در چاله سیرجان»، *مجله پژوهش‌های جغرافیایی*، شماره ۱، صص ۱۱۳-۱۰۳.
- Abrahams, A. D., Parsons, J., (1994), "Geomorphology of desert environments, Chapman and Hall, London.
  - Bhattacharai, P., Marui, H., Aoyama, K., (2008), "Use of soil properties on preliminary slope instability mapping along prithiwi Highway, Nepal", *Geohimal*, 3: 2-9.
  - Bull, W. B., (1987), "Relations of alluvial fan size and slope to drainage basin size and lithology in western Fresno County, California, *US Geological Survey Professional Paper*, 430B, 51-53.
  - Brabb, E. E., (1991), "The world landslide problem", *Episodes*, 14 (1): 52-61, Canuti.
  - Cooke, R., Warren, A., Goudie, A., (1999), "*desert geomorphologr*", London. UCL Press .

- Drew, M., (1865), "**Geomorphology**", USA, Washington, Forest Research.
- Gillbert, G. k., (1875), "Alluvial fans in death vally region", California, and Arizona, examined in the years 1871 and 1872: U.S, W. 100<sup>th</sup> Meridian (Wheeler), 3: 17-18
- Grozier, M., Glade, T., (2006), "Landslide hazard and risk : Issues , concepts and approach", Wiley, England .
- Hooke, R., LE, B., (1968), "Steady state relationships of arid region alluvial fans in closed basins", *American Journal of Science*, 266: 609-629
- Harvey, A. M., (2002), "Effective timescales of coupling within fluvial system", *Geomorphology* 44: 175-201.
- Harvey, A. M., (2008), "Factors influencing Quaternary alluvial fan development in southeast spain", in Rachoki and Church, *Alluvial fans*, Wiley, pp 247-260, Chichester .
- Hollingworth, J., Fattahi, M., Wallker, R., Talebeian, M., Bahroudi, A., Bolourchi, M. J., Jackson, J., Copley, A., (2002), "Ortoclinal bending, distributed thrust and strik-seip faulting, and the accommodation of Arabia–Eurasia convergence in NE Iran since the Oligocene", *Geophysical Journal International*, 1-33.
- Keller, E. A., Pinter, N., (2009), "active tectonics: Earthquakes, uplift and landscape (New Jersey: Hall ltd.
- McKee, E. D., Breed, C. D., Fryberger, S. G., (1977), "**Desert sand seas**", In Skylab explores the. Earth (pp 5–48). Washington .
- Pradeep, K., Goswami, C., Pant, C., Shefale, P., (2009), "Tectonic controls on the geomorphic evolution of alluvial fans in the piedmont zone of Ganga Plain, Uttarakhand, India", *J. Earth Syst*, 118 (30): 245-259.
- Taramelli, A., Melilli, L., (2009), "Detecting alluvial fans using quantitative roughness characterization and fuzzy logic analysis, *International Journal of Computer Science and Software Technology*, 2 (1): 55-67 .